

# Sécurité de la borne de recharge pour véhicules électriques (BRVE)

SOUTHWEST RESEARCH INSTITUTE®

Katherine Kozan

26 mars 2026



# Préoccupations

- Attaques au système de gestion de la batterie (SGB)
  - Usurpation d'identité
  - Refus de service
- Chargeur J1772 L2
  - Attaque par interception
    - Facturation excessive
    - Attaque entraînant un refus de service
    - Charge limite
- Vulnérabilités à la recharge rapide en courant continu (courants porteurs en ligne [CPL])
  - Accès au système
- Brancher et recharger (B et R)
  - Attaque par interception avec caractérisation de l'atténuation du niveau de signal (SLAC)
- Infrastructure à clé publique (ICP) pour BRVE
- Gestion des clés (GC)

# L'évolution de la sécurité des communications des VE et de la BRVE

## ■ DIN 70121

- Pas de Transport Layer Security (TLS), demande et réponse
- Caractérisation de l'atténuation du niveau du signal (SLAC)
- Communication de base et authentification pour la recharge rapide en courant continu
- Chiffrement limité



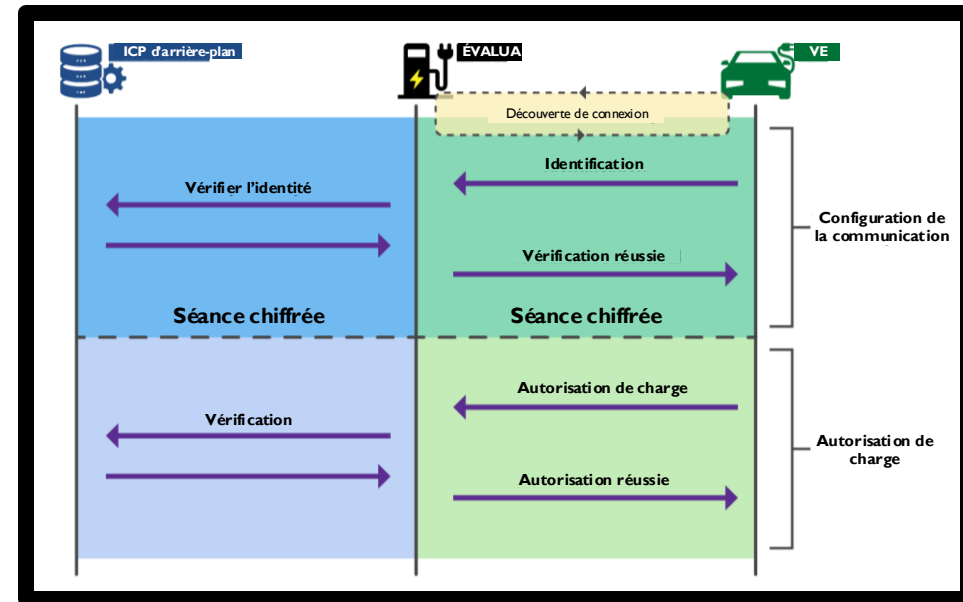
VE et BRVE de Southwest Research Institute (SwRI)  
Recherche sur la cybersécurité

## ■ ISO 15118-2

- Chiffrement TLS introduit
- ICP et certificats numériques
- Brancher et recharger

## ■ ISO 15118-20

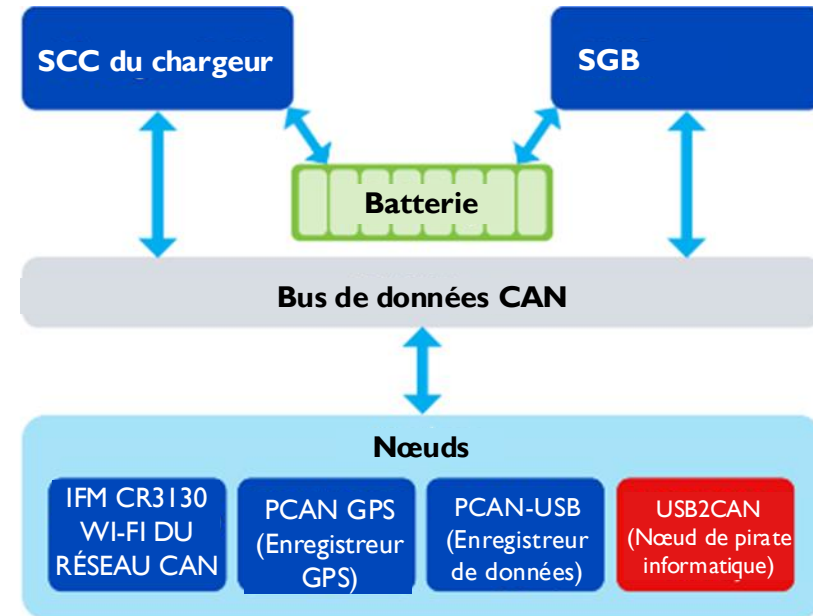
- TLS amélioré (1,3) et soutien mutuel du protocole TLS (mTLS)
- Sécurité de charge bidirectionnelle
- Mises à jour régulières sur la sécurité



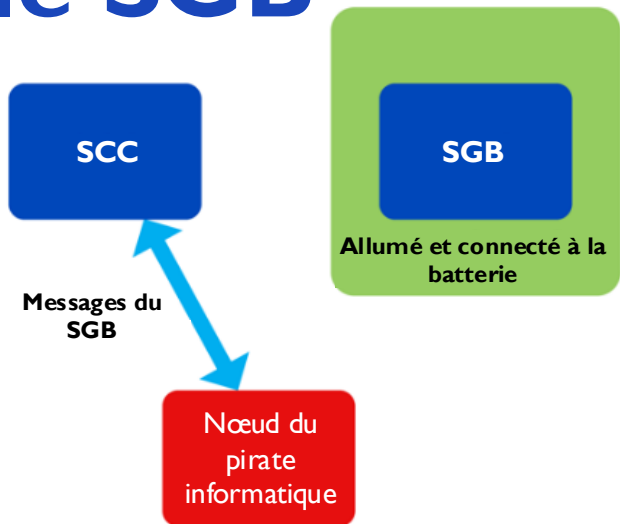
TLS dans B et R : Séquence d'autorisation

# Contexte du SGB

- **Système de charge combiné (SCC) :**
  - Fournit et régule le courant de charge de la batterie
  - Surveiller la tension de la batterie
- **Système de gestion de la batterie :**
  - Gère et évalue la fonction globale de la batterie et la santé de la batterie
  - Surveille chaque cellule de batterie
  - Commandes du SCC pour le chargement



# Courant du SCC pour l'usurpation d'identité sur le SGB



- Le nœud du pirate informatique envoie des messages en tant que SGB au SCC
- Utilisation du SGB pour l'identifiant du SCC
- Le pirate envoie progressivement des messages aux SCC
- Augmenter les niveaux actuels à des niveaux dangereux

**Résultat : Charge arrêtée**

```

NORMAL 19
Direction: BMS -> CCS, TLine: '0.0', PID: '0x18065F4', Data: ' 01 50 00 0A 00 00 00 00', V: '33.6', I: '20.0', Stat: '0'
Direction: CCS -> BMS, TLine: '1005650151.130041', PID: '0x18FF50E5', Data: ' 01 2F 00 09 00 00 00 00', V: '30.3', I: '0.0', Stat: '0'
Direction: CCS -> BMS, TLine: '1005650151.638075', PID: '0x18FF50E5', Data: ' 01 2F 00 09 00 00 00 00', V: '30.3', I: '0.0', Stat: '0'
ATTACK 20
Direction: BMS -> CCS, TLine: '0.0', PID: '0x18065F4', Data: ' 01 50 00 CB 00 00 00 00', V: '33.6', I: '20.0', Stat: '0'
Direction: CCS -> BMS, TLine: '1005650152.130097', PID: '0x18FF50E5', Data: ' 01 2F 00 09 00 00 00 00', V: '30.3', I: '0.0', Stat: '0'
Direction: CCS -> BMS, TLine: '1005650152.638144', PID: '0x18FF50E5', Data: ' 01 2F 00 09 00 00 00 00', V: '30.3', I: '0.0', Stat: '0'
ATTACK 21
Direction: BMS -> CCS, TLine: '0.0', PID: '0x18065F4', Data: ' 01 50 00 CB 00 00 00 00', V: '33.6', I: '20.0', Stat: '0'
Direction: CCS -> BMS, TLine: '1005650153.130202', PID: '0x18FF50E5', Data: ' 01 35 00 13 00 00 00 00', V: '30.9', I: '1.9', Stat: '0'
Direction: CCS -> BMS, TLine: '1005650153.638181', PID: '0x18FF50E5', Data: ' 01 35 00 13 00 00 00 00', V: '30.9', I: '1.9', Stat: '0'
ATTACK 22
Direction: BMS -> CCS, TLine: '0.0', PID: '0x18065F4', Data: ' 01 50 00 CB 00 00 00 00', V: '33.6', I: '20.0', Stat: '0'
Direction: CCS -> BMS, TLine: '1005650154.130213', PID: '0x18FF50E5', Data: ' 01 36 00 10 00 00 00 00', V: '31.5', I: '2.9', Stat: '0'
Direction: CCS -> BMS, TLine: '1005650154.638261', PID: '0x18FF50E5', Data: ' 01 36 00 10 00 00 00 00', V: '31.5', I: '2.9', Stat: '0'
ATTACK 23
Direction: BMS -> CCS, TLine: '0.0', PID: '0x18065F4', Data: ' 01 50 00 CB 00 00 00 00', V: '33.6', I: '20.0', Stat: '0'
Direction: CCS -> BMS, TLine: '1005650155.130330', PID: '0x18FF50E5', Data: ' 01 41 00 27 00 00 00 00', V: '32.1', I: '3.9', Stat: '0'
Direction: CCS -> BMS, TLine: '1005650155.638374', PID: '0x18FF50E5', Data: ' 01 41 00 27 00 00 00 00', V: '32.1', I: '3.9', Stat: '0'
ATTACK 24
Direction: BMS -> CCS, TLine: '0.0', PID: '0x18065F4', Data: ' 01 50 00 CB 00 00 00 00', V: '33.6', I: '20.0', Stat: '0'
Direction: CCS -> BMS, TLine: '1005650156.130407', PID: '0x18FF50E5', Data: ' 01 47 00 31 00 00 00 00', V: '32.7', I: '4.9', Stat: '0'
Direction: CCS -> BMS, TLine: '1005650156.638439', PID: '0x18FF50E5', Data: ' 01 47 00 31 00 00 00 00', V: '32.7', I: '4.9', Stat: '0'
ATTACK 25
Direction: BMS -> CCS, TLine: '0.0', PID: '0x18065F4', Data: ' 01 50 00 CB 00 00 00 00', V: '33.6', I: '20.0', Stat: '0'
Direction: CCS -> BMS, TLine: '1005650157.130448', PID: '0x18FF50E5', Data: ' 01 40 00 30 00 00 00 00', V: '33.3', I: '5.9', Stat: '0'
Direction: CCS -> BMS, TLine: '1005650157.638531', PID: '0x18FF50E5', Data: ' 01 40 00 30 00 00 00 00', V: '33.3', I: '5.9', Stat: '0'
ATTACK 26
Direction: BMS -> CCS, TLine: '0.0', PID: '0x18065F4', Data: ' 01 50 00 CB 00 00 00 00', V: '33.6', I: '20.0', Stat: '0'
Direction: CCS -> BMS, TLine: '1005650158.130537', PID: '0x18FF50E5', Data: ' 01 4E 00 30 00 00 00 00', V: '33.4', I: '5.9', Stat: '0'
Direction: CCS -> BMS, TLine: '1005650158.638522', PID: '0x18FF50E5', Data: ' 01 4E 00 30 00 00 00 00', V: '33.4', I: '5.9', Stat: '0'
ATTACK 27
Direction: BMS -> CCS, TLine: '0.0', PID: '0x18065F4', Data: ' 01 50 00 CB 00 00 00 00', V: '33.6', I: '20.0', Stat: '0'
Direction: CCS -> BMS, TLine: '1005650159.130615', PID: '0x18FF50E5', Data: ' 01 4E 00 30 00 00 00 00', V: '33.4', I: '5.9', Stat: '0'
Direction: CCS -> BMS, TLine: '1005650159.638605', PID: '0x18FF50E5', Data: ' 01 4E 00 30 00 00 00 00', V: '33.4', I: '5.9', Stat: '0'
ATTACK 28
Direction: BMS -> CCS, TLine: '0.0', PID: '0x18065F4', Data: ' 01 50 00 CB 00 00 00 00', V: '33.6', I: '20.0', Stat: '0'
Direction: CCS -> BMS, TLine: '1005650160.130682', PID: '0x18FF50E5', Data: ' 01 8E 00 00 00 00 00 00', V: '147.8', I: '0.0', Stat: '0'
Direction: CCS -> BMS, TLine: '1005650160.638754', PID: '0x18FF50E5', Data: ' 01 8E 00 00 00 00 00 00', V: '147.8', I: '0.0', Stat: '0'
ATTACK 29
  
```

SGB->SCC, augmentation du courant

SCC->SGB, courant en augmentation

SCC->SGB, arrêt du courant



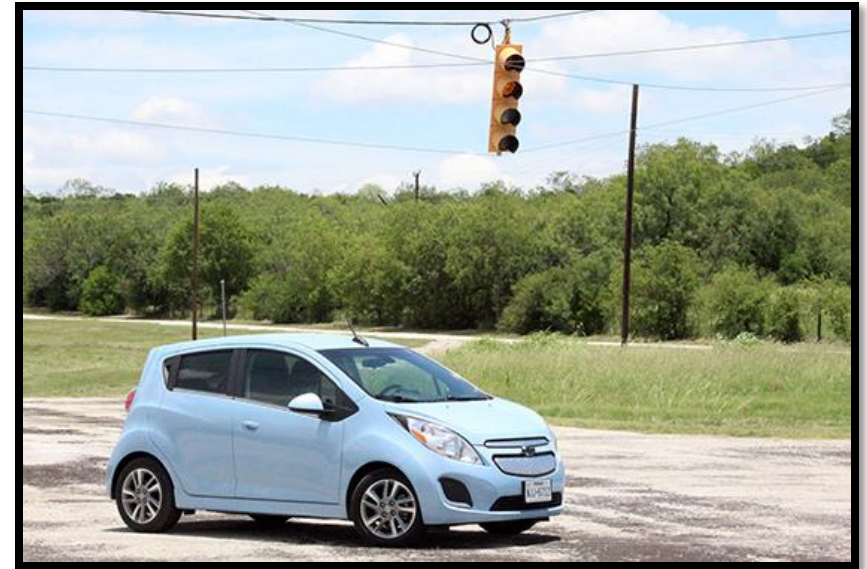
# Réseaux de recharge pour véhicules électriques : Les avancées technologiques dépassent la cybersécurité nécessaire

- La dépendance accrue aux systèmes de communication électronique et aux systèmes de recharge électroniques a créé des possibilités pour de nouvelles cyberattaques.
- La recherche du SwRI a démontré que les cyberattaques sont possibles sur les réseaux actuels.



Projet du SwRI : Vulnérabilités en cybersécurité des bornes de recharge pour véhicules électriques

<https://www.swri.org/press-release/electric-vehicle-charging-cybersecurity-vulnerabilities>

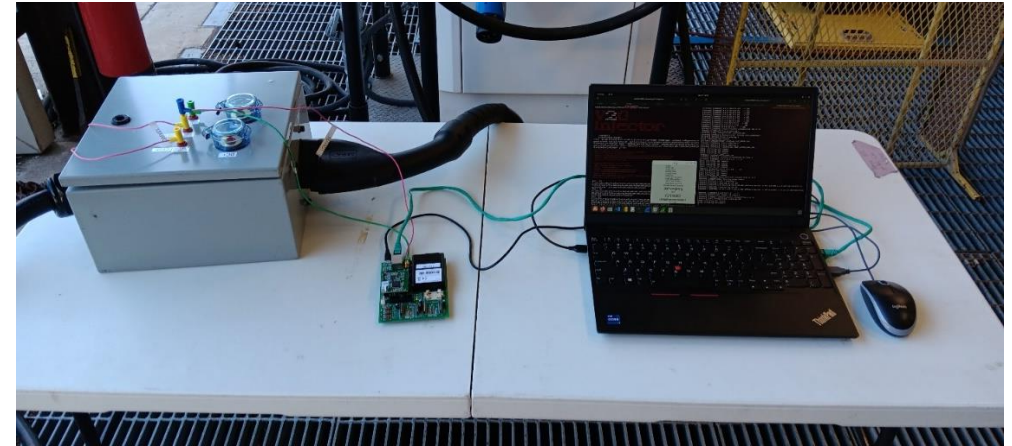


Projet du SwRI : Cybersécurité des véhicules électriques

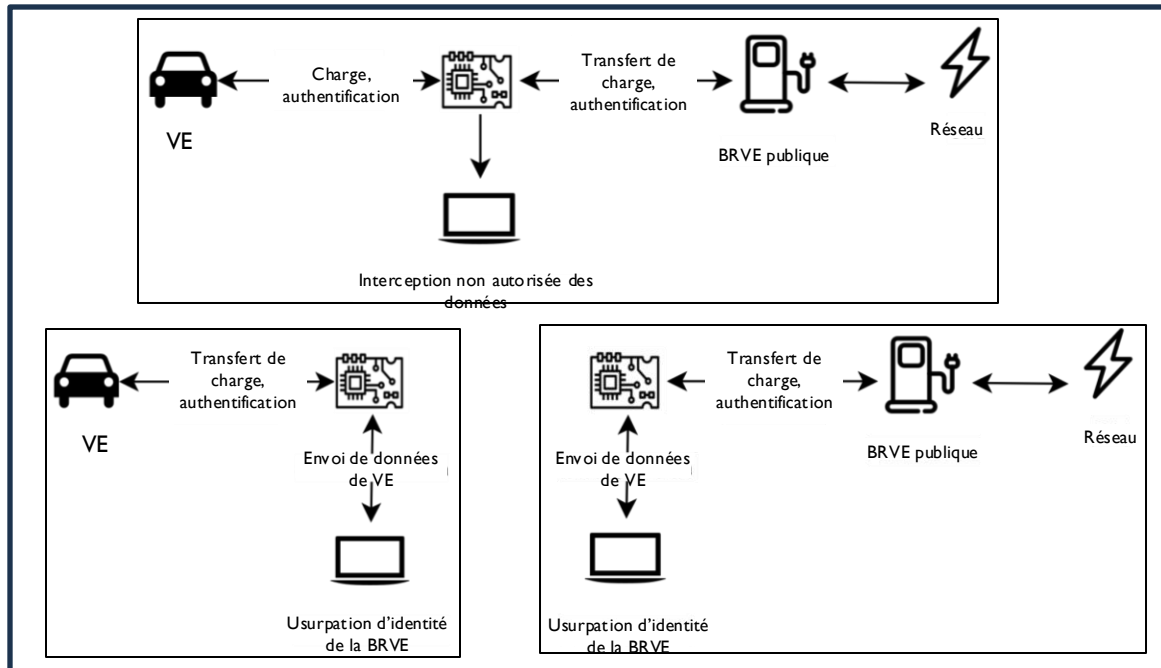
<https://www.swri.org/work-us/internal-rd/2020/automotive-transportation/10-r6022>

# Intervention en cas d'incident de sécurité pour la borne de recharge pour véhicules électriques (BRVE) à charge rapide en courant continu (DCFC)

**Objectif :** Analyser le processus de recharge rapide en courant continu (DCFC) des VE et les courants porteurs en ligne (CPL) utilisés



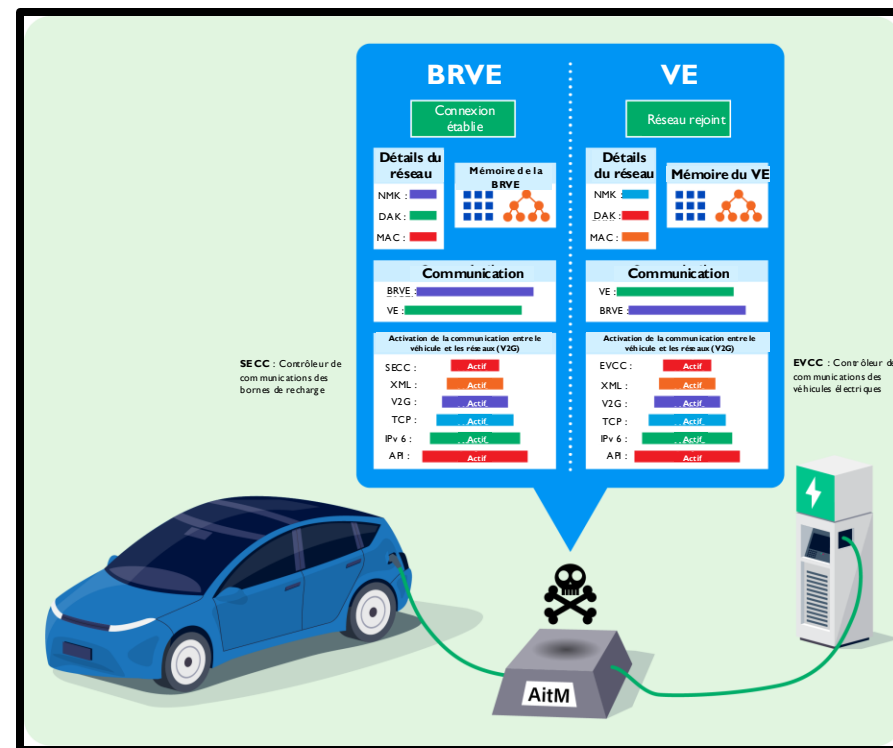
C  
P  
L



Communiqué de presse : <https://www.swri.org/press-release/swri-evaluates-cybersecurity-risks-associated-ev-fast-charging-equipment>

# Communication sur la ligne électrique DCFC

- Déterminer si les chargeurs DCFC sont sécurisés
- Conversion de CPL à Ethernet
- Dossiers de configuration vidés
- Modification et nouveau téléversement des fichiers de configuration



**Résultat : Ports ouverts**

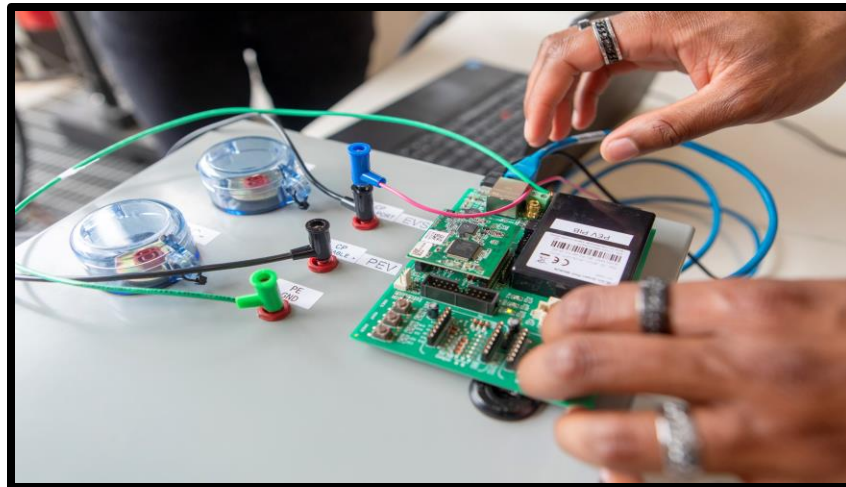
Ce diagramme démontre une attaque par interférence développée par le SwRI et sa capacité à émuler à la fois un véhicule électrique et une borne de recharge pour véhicules électriques (BRVE), ainsi qu'à surveiller leurs attributs définis.

Communiqué de presse : <https://www.swri.org/press-release/swri-evalue-cybersecurity-risks-associated-ev-fast-charging-equipment>

# Interception des communications pour Brancher et recharger

**Objectif :** Établir une attaque par interférence en exploitant les faiblesses du processus de caractérisation de l'atténuation au niveau du signal (SLAC).

- Modifier le transport existant en transit entre les systèmes
- Compromettre l'échange de certificats lors de la configuration de la connexion
- Réduire la sécurité de la connexion



# Recherche sur l'infrastructure à clé publique (ICP) pour les bornes de recharge pour véhicules électriques (BRVE)

## ▪ Enquête

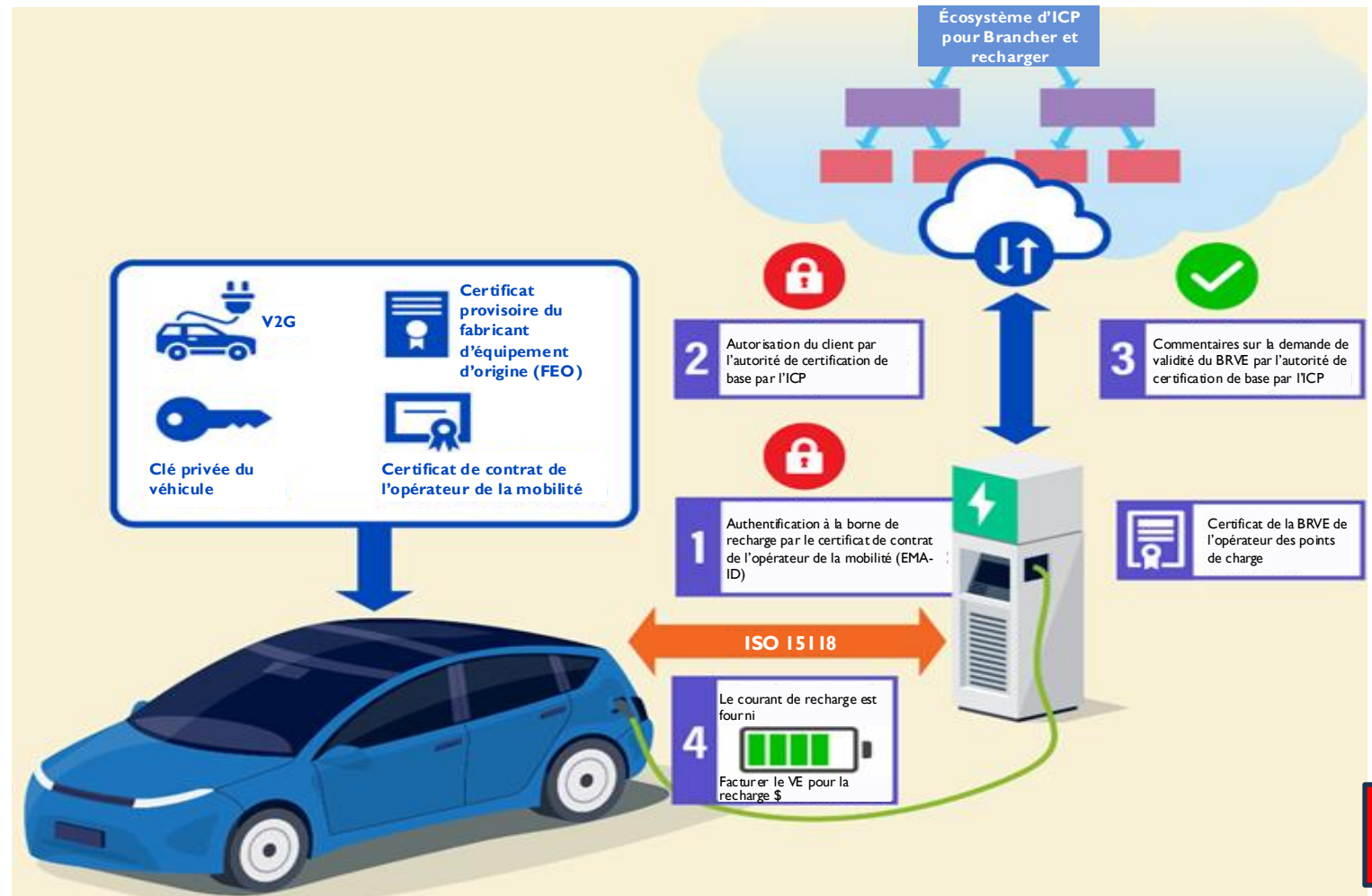
- Sécurité de la communication de l'ICP dans les réseaux de charge des VE
- Faisabilité des attaques contre les protocoles de communication et les certificats d'ICP

## ▪ Analyser les protocoles de communication dans l'environnement de BRVE

- Déterminer les vulnérabilités
- Élaborer des stratégies de mesures d'atténuation

# ICP pour une BRVE

- SwRI établira une simulation de BRVE avec des capacités d'ICP et utilisera un véhicule doté d'une ICP active
- Créer une architecture de base pour les communications en arrière-plan
- Se concentrer sur l'authentification et l'autorisation



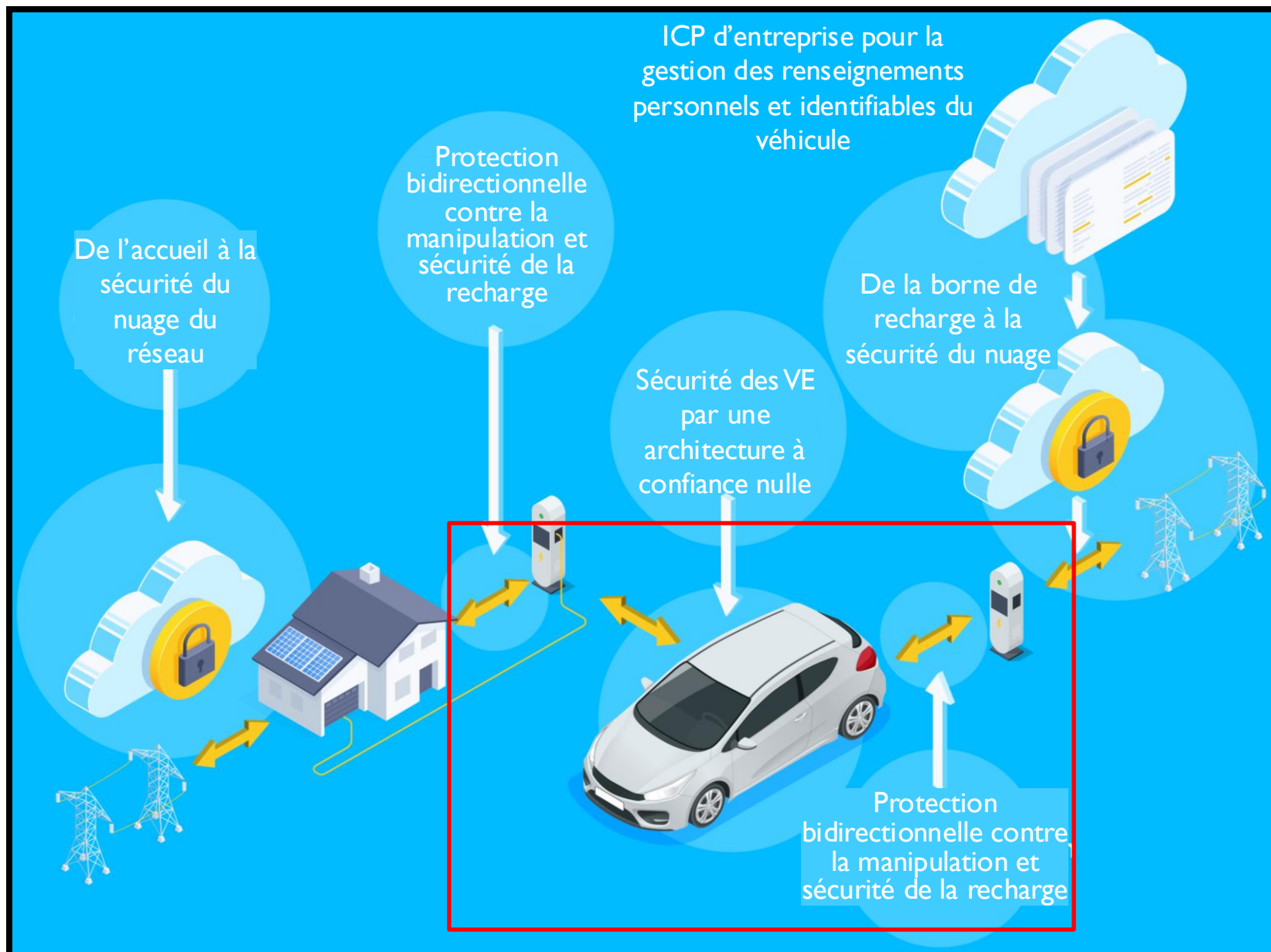
# Systeme de gestion des clés (SGC)

- Démonstration d'un SGC complet pour systèmes intégrés basés sur l'adaptation des logiciels à source ouverte dans un environnement automobile intégré





# Cybersécurité de V2G de SwRI



## ■ Domaines de recherche précédents

- Sécurité
- Normalisation
- Vitesse de la recharge
- Fonctionnalité

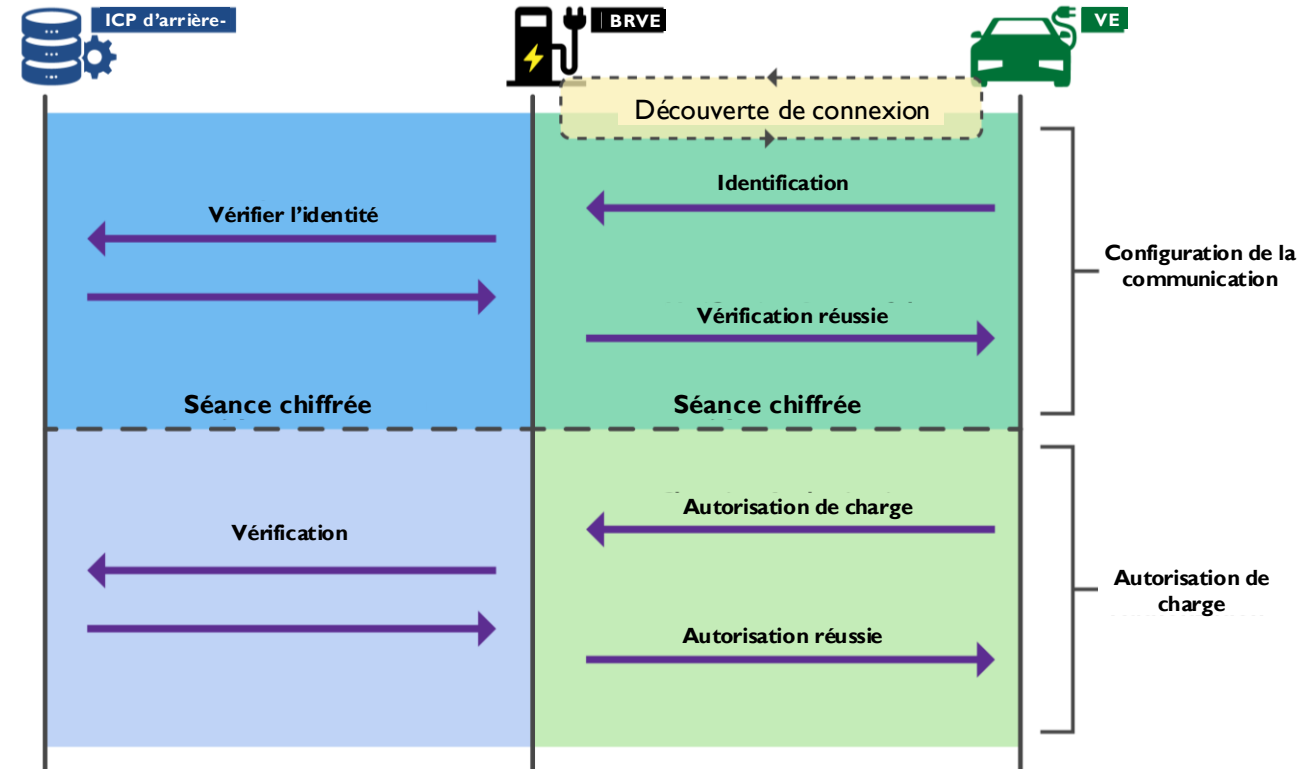
**Nous croyons qu'une solution de V2G peut être conçue avec la sécurité comme base, offrant une fonctionnalité robuste à grande échelle**

## ■ Prochaine étape de la recherche

- Distribution (disponibilité)
- Intégration
- Facilité d'utilisation

# Authentification et autorisation

- Examen de l'échange de certificats et de l'approvisionnement
- Examiner les bases de l'authentification d'ISO 15118
- Identifier les vulnérabilités et élaborer des stratégies de mesure d'atténuation
  - Ports du réseau ouvert
  - Manipulation des données
  - Attaques d'interception



# Questions et autres discussions





# SOUTHWEST RESEARCH INSTITUTE®

Science avancée. Technologie appliquée.

Katherine Kozan

Ingénieure de recherche

210.522.2541

[Katherine.kozan@swri.org](mailto:Katherine.kozan@swri.org)